

# О ВОЗМОЖНОСТИ ДВУХДОМЕННОЙ ПРЕЦЕССИИ НАМАГНИЧЕННОСТИ В ТВЕРДОМ АНТИФЕРРОМАГНИТНОМ $^3\text{He}$

И.А.Фомин, Д.В.Шопова

Показано, что в антиферромагнитной фазе твердого  $^3\text{He}$ -*B* при некоторых направлениях магнитного поля по отношению к оси анизотропии магнитной структуры пространственно однородная прецессия намагниченности может переходить в двухдоменную, аналогичную ранее обнаруженной в сверхтекучем  $^3\text{He}$ -*B*.

Как было недавно установлено <sup>1, 2</sup>, в сверхтекучем  $^3\text{He}$ -*B* при отклонении намагниченности на конечный угол от равновесного направления в слабонеоднородном магнитном поле  $\mathbf{H}_0$  возникает пространственно неоднородная прецессирующая структура, состоящая из двух доменов, в одном из которых намагниченность параллельна  $\mathbf{H}_0$ , а в другом – отклонена от него на угол  $\beta_0 = \arccos(-1/4)$ . Образование такой структуры связано с тем, что дипольная энергия  $U_D$  для  $^3\text{He}$ -*B* как функция двух своих аргументов  $\Phi = \alpha + \gamma$  и  $u = \cos\beta$  ( $\alpha, \beta, \gamma$  – эйлеровы углы, определяющие ориентацию параметра порядка) имеет линию неизолированных особых точек, т. е. таких, для которых  $\partial U_D / \partial \Phi = 0, \partial U_D / \partial u = 0$  и определитель  $[(\partial^2 U_D / \partial \Phi^2)(\partial^2 U_D / \partial u^2)] - (\partial^2 U_D / \partial \Phi \partial u)^2 = 0$ . Аналогичная ситуация может реализоваться в антиферромагнитной фазе твердого  $^3\text{He}$ , если считать, что ее магнитная динамика описывается уравнениями, предложенными Ошеровым, Кросом и Фишером <sup>3</sup> (в дальнейшем ОКФ). Уравнения эти, за исключением знака перед дипольным членом, совпадают с уравнениями Леггетта для  $^3\text{He}$ -*A*, что позволяет для исследования движения намагниченности в полях, для которых лармортская частота  $\omega_L$  велика по сравнению с частотой антиферромагнитного резонанса в нулевом поле  $\Omega$ , воспользоваться процедурой усреднения по быстрым движениям <sup>4</sup>. Влияние конкретной магнитной структуры на движение намагниченности при  $\omega_L \gg \Omega$  определяется усредненной по прецессии дипольной энергией  $V_D$ , которая в рассматриваемом случае имеет следующий вид:

$$V_D = \frac{\Omega^2}{16} [ 2(1+u^2) + 2(1-3u^2) \cos^2 \theta + (1+u)^2 \sin^2 \theta \cos 2\Phi ] \quad (1)$$

$V_D$  зависит как от параметра от угла  $\theta$  между  $\mathbf{H}_0$  и направлением  $\mathbf{l}$ , определяющим пространственную ориентацию предложенной ОКФ структуры. При  $\cos^2 \theta = 1/5$  энергия  $V_D$  имеет линию неизолированных особых точек  $\Phi = \pi/2$  (линия  $\Phi = 0$  соответствует заведомо неустойчивым состояниям). Обращение  $\partial V_D / \partial u$  в нуль на этой линии может быть обеспечено подходящим выбором сдвига частоты прецессии. Рассуждения, аналогичные проведенным для  $^3\text{He}$ -*B* <sup>2</sup>, показывают, что при  $\cos^2 \theta = 1/5$  даже слабый градиент лармортской частоты приведет к распаду первоначально однородной прецессии намагниченности на два домена. В домене, расположенному в области более сильных полей намагниченность параллельна полю, а в области менее сильных – антипараллельна.

Чтобы найти форму доменной стенки и проследить переход от пространственно однородной прецессии к двухдоменной при изменении угла  $\theta$  положим  $\cos^2 \theta = 1/5 + \kappa$  ( $\kappa \ll 1$ ) и выделим в дипольной энергии члены, пропорциональные  $\kappa$ , т. е.  $V_D = V_D^{(0)} + \kappa w$ . Далее заметим, что как и в  $^3\text{He}$ -*B* стационарной прецессии соответствуют экстремали функционала

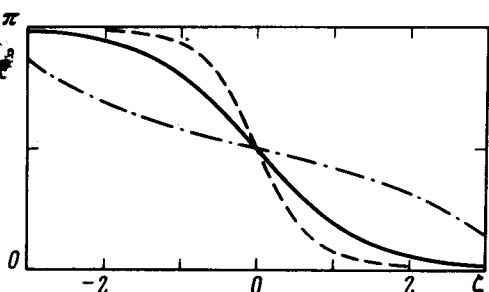
$$F = \int [\mathcal{H}^{(0)} + \omega_p^{(0)} P + \mu P + G_v - S_z(z \nabla \omega_L) + \kappa w] dz. \quad (2)$$

Здесь  $\mathcal{H}^{(0)}$  – пространственно однородная часть гамильтониана,  $G_v$  – усредненная градиентная энергия, она совпадает с полученной ранее для  $^3\text{He}$ -*A* <sup>5</sup>. Считается, что лармортовс-

кая частота линейно изменяется вдоль направления  $z$ , параллельного  $H_0$ . На по координат выбрано в центре образца, который предполагается цилиндрическим и однодоменным. Определяющий частоту прецессии лагранжев множитель  $\omega_p$  разделен на две части  $\omega_p^{(0)}$  и  $\omega_p^{(1)}$  так, чтобы  $\omega_p^{(0)}$  соответствовала частоте однородной прецессии при  $\kappa = 0$ ,  $P$  – канонический импульс, сопряженный углу  $\alpha$ . Последние четыре члена под интегралом (2) малы в меру малости  $\kappa$  или  $L \nabla \omega_L / \omega_L$ , где  $L$  – продольный размер образца. Это позволяет, как и в  $^3\text{He}-B$ , сначала минимизировать первые два члена, что дает  $\cos\Phi = \pi/2$ , а затем минимизировать оставшуюся часть функционала  $F$  при заданном  $\Phi$ . Из условия отсутствия в стационарном состоянии спиновых токов получаем  $\alpha = \text{const}$ , а произведя минимизацию по  $\beta$ , получим уравнение

$$\frac{d^2\beta}{d\xi^2} - \tau \sin\beta \cos\beta - \xi \sin\beta = 0. \quad (3)$$

Здесь  $\xi = (z - z_0) / \lambda$ ,  $z_0 = (\mu / \nabla \omega_L) + (\kappa \Omega^2 / 8 \cdot \omega_L \nabla \omega_L)$ ,  $\lambda = [(c_{||}^2 + 4c_{\perp}^2) / 10 \omega_L \nabla \omega_L]^{1/3}$  – характерная длина, обусловленная неоднородностью магнитного поля,  $c_{||}$  и  $c_{\perp}$  – скорости спиновых волн, направленных соответственно параллельно и перпендикулярно к  $\mathbf{l}$ ,  $\tau = 25\kappa \Omega^2 \lambda^2 / 4(c_{||}^2 + 4c_{\perp}^2)$ . Лагранжев множитель  $\mu$  не входит явно в уравнение (3), но от него зависит положение границ. Чтобы определить  $\mu$ , а с ним и зависимость  $\beta(z)$  в образце, следует найти решение уравнения (3), удовлетворяющее условиям  $\beta \rightarrow 0$  при  $\xi \rightarrow \infty$  и  $\beta \rightarrow \pi$  при  $\xi \rightarrow -\infty$ , после чего выбрать интервал  $(\xi_0 - L/\lambda, \xi_0 + L/\lambda)$  такой, чтобы  $\int P d\xi$  по этому интервалу равнялся заданному начальному значению, тогда определятся  $z_0 = -\lambda \xi_0$ , а с ним  $\mu$  и частота прецессии, равная  $\omega_L(z_0) + (1 - 5\kappa/4)\Omega^2/10$ .



Форма доменной стенки при разных значениях параметра  $\tau$ : штрих-пунктирная линия соответствует  $\tau = -4$ , сплошная –  $\tau = 0$ , пунктирная –  $\tau = 4$

Характер изменения  $\beta$  в образце зависит от знака  $\tau$  и соотношения между  $\tau$  и  $L/\lambda$ . При  $\tau < 0$  и  $|\tau| \gg L/\lambda$  картина прецессии близка к однородной. При  $\tau = 0$  возникает доменная стенка с толщиной порядка  $\lambda$ , разделяющая области с  $\beta = 0$  и  $\beta = \pi$ , аналогичная той, которая имеется в  $^3\text{He}-B$ . Для типичных значений  $\omega_L \approx 2 \cdot 10^7$  рад/с,  $\nabla \omega_L \approx \approx 2 \cdot 10^4$  рад/с·см,  $c^2 \approx 8$  см/с имеем  $\lambda \approx 5 \cdot 10^{-4}$  см. При дальнейшем увеличении  $\tau$  происходит переход в область неустойчивости пространственно однородной прецессии<sup>6</sup>. Из-за наличия внешней неоднородности этот переход происходит плавно – с ростом  $\tau$  изменяется форма и толщина доменной стенки (см. рисунок). При  $\tau \gg L/\lambda$  можно опустить последний член в уравнении (4). В результате получается известное уравнение, имеющее решение

$$\cos\beta = \operatorname{th} \left[ (z - z_0) \frac{\sqrt{\tau}}{\lambda} \right]$$

доменную стенку с толщиной  $\sim \frac{\lambda}{\sqrt{\tau}} = [(c_{||}^2 + 4c_{\perp}^2) / \kappa]^{1/2} \frac{2}{5\Omega} \sim \frac{10^{-6}}{\sqrt{\kappa}}$  см.

Приведенные рассуждения относились к одному домену и их нельзя непосредственно применить к уже имеющимся экспериментальным результатам<sup>7</sup>, полученным на много-доменных образцах. Исследование "включения" и "выключения" неустойчивости однород-

ной прецессии важно для понимания процесса релаксации намагниченности как в антиферромагнитном  $^3\text{He}$ , так и в сверхтекучем  $^3\text{He-A}$ . Следовало бы поэтому с одной стороны попытаться получить однодоменные образцы и произвести на них измерения, аналогичные<sup>7</sup>, а с другой – теоретически описать переход к пространственно неоднородной прецессии с учетом доменной структуры образцов. В этом случае произведенный здесь анализ можно использовать с необходимыми изменениями для описания процессов, происходящих в отдельных доменах.

Мы благодарны М.А.Черникову за полезное обсуждение.

#### Литература

1. Боровик-Романов А.С., Буньков Ю.М., Дмитриев В.В., Мухарский Ю.М. Письма в ЖЭТФ, 1984, **40**, 256.
2. Фомин И.А. Письма в ЖЭТФ, 1984, **40**, 260.
3. Osheroff D.D., Cross M.C., Fisher D.S. Phys. Rev. Lett., 1980, **44**, 792.
4. Фомин И.А. ЖЭТФ, 1976, **71**, 791.
5. Фомин И.А. ЖЭТФ, 1980, **78**, 2392.
6. Ohmi T., Tsubota M., Tsuneto T. Preprint, 1985.
7. Kusumoto T., Ishikawa O., Mizusaki T., Hirai A. J. Low Temp. Phys., 1985, **59**, 269.

Институт теоретической физики им. Л.Д.Ландау  
Академии наук СССР

Поступила в редакцию  
3 июля 1985 г.